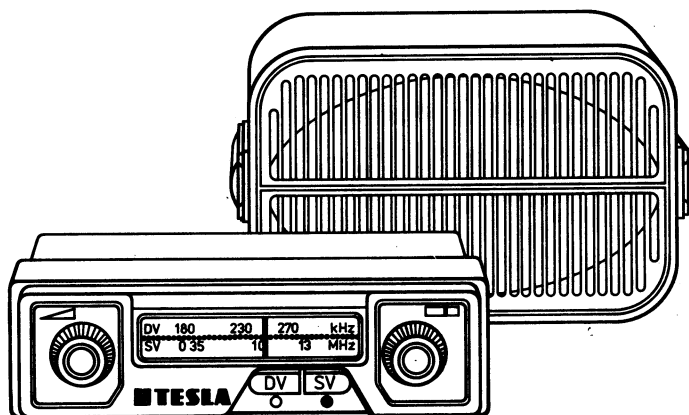




návod k údržbě  
**TESLA 2111 B**

# AUTOMOBILOVÝ PŘIJÍMAČ TESLA 2111B

Vyrábí TESLA BRATISLAVA od roku 1980



Obr. 1. Přijímač 2111B

## VŠEOBECNĚ

Rozhlasový přijímač určený k trvalému provozu v motorovém vozidle, jehož baterie má záporný pól spojený s kostrou. Při příjmu amplitudově modulovaných signálů pracuje přístroj s 5 laděnými okruhy, keramickou pásmovou propustí, 4 tranzistory, 3 diodami a integrovaným obvodem. Další vzbavení: Stíněná přípojka pro automobilovou anténu - ladění posuvnými jádry - dvouobvodové avc - fyziologický regulátor hlasitosti - integrovaný nf zesilovač - přípojka pro reproduktor s kabelovými spojkami - přípojka pro napájecí baterii s tavnou pojistkou - dvoubarevná stupnice s osvětlením - tlačítkové přepínání vlnových rozsahů - odrušení a stabilizace napájecího napětí - upevnění celokovové skříně prostřednictvím pouzder - reproduktor ve sklopné skříni z plastické hmoty.

## TECHNICKÉ ÚDAJE

### Vlnové rozsahy

|              |                |
|--------------|----------------|
| střední vlny | 525 - 1605 kHz |
| dłouhé vlny  | 150 - 285 kHz  |

### Vf citlivost (mezní hodnoty)

|              |            |                       |
|--------------|------------|-----------------------|
| střední vlny | 15 $\mu$ V | potlačení šumu -10 dB |
| dłouhé vlny  | 30 $\mu$ V |                       |

### Vf selektivnost

|              |       |                       |
|--------------|-------|-----------------------|
| střední vlny | 34 dB | rozladení $\pm 9$ kHz |
| dłouhé vlny  | 36 dB |                       |

### Interferenční poměr pro zrcadlový signál

|              |        |
|--------------|--------|
| střední vlny | -40 dB |
| dłouhé vlny  | -50 dB |

**Samočinné řízení citlivosti**

58 dB

**Mezifrekvence**

455 ± 2 kHz

**Interferenční poměr pro mf signál**

-30 dB

**Kmitočtová charakteristika celého přijímače**

150 - 2000 Hz

(referenční kmitočet 1 kHz)

**Citlivost nf zesilovače**

0,3 μA ± 4 dB

**Největší užitečný výstupní výkon**

4 W při zkreslení 10 %

**Osvětlovací žárovka**

12 V/1,2 W

**Napájení**

12 V + 20 % (14,4 V)

**Největší odběr proudu**

|                            |                      |
|----------------------------|----------------------|
| přijímač bez vybuzení      | 90 mA (bez žárovky)  |
| při vybuzení na plný výkon | 800 mA (se žárovkou) |

**Jištění**

tavnou pojistikou 1,25 A

**Reprodukтор**

oválný 100 x 160 mm ve zvláštní skříni; impedance kmitačky 4 Ω

**Rozměry a hmotnost**

|                       |                   |        |
|-----------------------|-------------------|--------|
| přijímač              | 180 x 60 x 37 mm  | 0,8 kg |
| skřín s reproduktorem | 180 x 110 x 77 mm | 0,8 kg |

**POPIS ZAPOJENÍ****Vstup a oscilátor**

Signály z automobilové antény přicházejí buď na středovlnný vstupní laděný obvod L2, C1, C2, C3, C4 nebo na dlouhovlnný obvod L3 + L4, C1, C2, C3, C4 + C5. Oddělovací člen L1, R1 omezuje vliv antény a svodu na stabilitu obvodů. Signály se zesilují ve vf zesilovači (T1), na jehož výstupu je prostřednictvím aperiodické impedance R5 kapacitně vázán středovlnný laděný obvod L6, C12 + C13 nebo na dlouhých vlnách odlaďovač zrcadlových kmitočtů L5, C10.

Stupeň T2 je zapojen jako kmitající směšovač. Mezi jeho kolektorem a emitorem je kapacitně vázán oscilátorový sériový laděný obvod L7, C19 pro střední vlny nebo L7 + L8, C19 spolu s paralelním členem C20, R13 pro dlouhé vlny. Popsané obvody se ladí souběžným posouváním čtyř feritových jader v indukčnostech a zapínají do funkce přepínačem P1.

**Mezifrekvenční zesilovač**

Produktem směšování je mezifrekvenční signál, který se převádí prostřednictvím doladitelné pásmové propusti MF1 a pevně nastavené keramické pásmové propusti MF2 na první stupeň mf zesilovače T3 a na něj aperiodicky vázaný druhý stupeň T4.

**Samočinné řízení citlivosti a detektor**

Na diodu D1, zapojenou paralelně k obvodu L6, C12, C13, se zavádí kromě vf signálu také kladné napětí z děliče R8, R7. Je-li přijímaný signál větší než ss protinapětí, dioda se otevře, tlumí

laděný obvod a zmenšuje tak zesílení.

Na výstupu mf zesilovače je prostřednictvím posledního laděného obvodu induktivně vázana demodulační dioda D2, z níž se převádí střídavý signál po vícenásobné filtraci na vstup nf zesilovače.

Demodulovaný signál obsahuje také stejnosměrnou složku, která se po příslušné filtraci využívá k samočinnému řízení stupňů T1 a T2. Také zde se používá nastavitelné (R14) kladné protinapětí určující práh působení avc.

#### Nízkofrekvenční zesilovač

Na vstupu zesilovače je regulátor hlasitosti s fyziologickým průběhem upraveným sériovým členem R27, C31. Signál se dostává z běžce potenciometru přímo na vstup integrovaného obvodu IO1 (vývod 8), pracujícího jako nf a koncový zesilovač. S výstupem (vývod 12) zesilovače je spojen reproduktor RP1 přes oddělovací kondenzátor C35 a tlumivky L16, L16', které brání pronikání rušivých impulsů, naindukováných do kabelu reproduktoru, zpět do přijímače. Boucherotův člen C36, R31 stabilizuje zesilovač při přenosu nejvyšších kmitočtů.

Integrovaný obvod je částečně chráněn přímo ve své struktuře jednak vratnou tepelnou pojistkou, jednak diodovým blokováním výstupu při přetížení.

#### Napájení

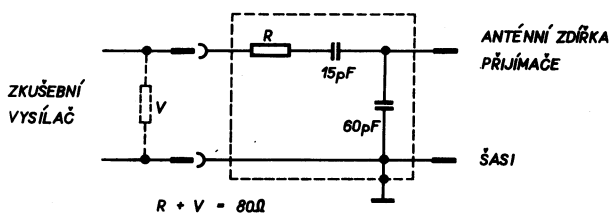
Napájecí proud z automobilové baterie se přivádí přes ochrannou pojistku P01, zvláštní odrušovací část, jejíž členy pokrývají různé úseky kmitočtového spektra, a spínač P3 mechanicky spřážený s regulátorem hlasitosti. Do obvodu je také zapojena osvětlovací žárovka B1 pro stupnici. Napájecí napětí pro vf a mf část přijímače se stabilizuje Zenerovou diodou D3 a jeho optimální úroveň se nastavuje potenciometrem R32.

## SLAĐOVÁNÍ A MĚŘENÍ

#### Uvedení do chodu

(Automobilová baterie nebo síťový napájecí zdroj, avomet II)

1. Je-li přijímač v provozu, musí být vždy k výstupní přípojce zapojen reproduktor nebo náhradní zatěžovací odpor  $4 \Omega / 5 \text{ W}$ ; připojení provedte vždy pomocí kabelových spojek, aby se vyloučil zkrat výstupního obvodu.
2. Napájecí napětí přijímače má být  $12 \text{ V} +20\%$ , tj.  $14,4 \text{ V}$ . Přitom je záporný pól připojen pomocí dutinkové zástrčky na výstupek zadní stěny přijímače a kladný pól prostřednictvím kabelu s pojistikou v krytu.
3. Při seřizování stačí obvykle sesunout horní a spodní kryt přijímače směrem dozadu. Při sláđování vstupní části je třeba ještě stáhnout knoflíky, vyšroubovat obě matice pouzder ovládacích prvků a sejmout ozdobný rám se stupnicí.



Obr. 2. Umělá automobilová anténa

4. Naříďte miniaturním potenciometrem R32 napětí  $7,5 \text{ V}$  v bodě MB3 a potenciometrem R14 napětí  $0,4 \text{ V}$  na odporu R4. Obě nastavení několikrát zopakujte, protože se navzájem ovlivňují.
5. Vyjměte osvětlovací žárovku a zkontrolujte, zda odběr napájecího proudu nepřekročí  $90 \text{ mA}$ .

Kontrola nf zesilovače

(nf generátor, osciloskop, nf voltmetr, avomet II, zatěžovací odporník  $4 \Omega/5 \text{ W}$ , oddělovací odporník  $0,1 \text{ M}\Omega/0,125 \text{ W}$ )

- Připojte zatěžovací odporník k výstupu přijímače a paralelně k němu osciloskop a nf voltmetr.

Zaveděte z nf generátoru signál 1 kHz přes oddělovací odporník mezi bod MB1 a šasi a naříďte regulátor hlasitosti na největší hlasitost. Regulátorem úrovně signálu na generátoru naříďte výstupní výkon 50 mW (napětí 0,45 V na odporník  $4 \Omega$ ). Přitom má procházet oddělovacím odporem proud  $0,3 \mu\text{A} \pm 4 \text{ dB}$  nebo se má na něm naměřit napětí  $0,3 \text{ mV} \pm 4 \text{ dB}$ .

- Zvyšte výstupní výkon na 3,5 W (3,74 V) a zkontrolujte na obrazovce osciloskopu, jsou-li vrcholy zobrazené sinusovky rovnoměrně ořezány a není-li tvar křivky deformován. Současně zjistěte, není-li celkový odběr napájecího proudu i s osvětlovací žárovkou větší než 0,8 A.

Sládování

(Zkušební vysílač pro 150 - 1500 kHz, umělá automobilová anténa, nf voltmetr, zatěžovací odporník  $4 \Omega/5 \text{ W}$ , oddělovací kondenzátor 33 000 pF)

- Seřídte stupnicový ukazovatele tak, aby se kryl s levým okrajem čistého skla stupnice (tj. 12 mm od sládovacího bodu 0,6 MHz), je-li ladění přijímače nařízeno na levý doraz, přičemž ladící jádra jsou co nejvíce zasunuta v cívkách.
- Sládovací signál ze zkušebního vysílače je amplitudově modulován kmitočtem 1 kHz do hloubky 30 %. Regulátor hlasitosti je nařízen na největší hlasitost a výstupní výkon nemá překročit 50 mW (nebo napětí 0,45 V na odporník  $4 \Omega$ ).
- Při sládování postupujte podle sládovací tabulky a sledujte rozdílností sládovacích prvků na obr. 3. Nakonec zajistěte spolehlivě jádra cívek voskem a šrouby ladících jader, dolaďovací kondenzátor a miniaturní potenciometry nitroemailem.
- Po nastavení jednotlivých okruhů měřte vždy mf nebo vf citlivost pro výstupní výkon 50 mW. Mezipřekvěnní citlivost se může lišit v toleranci  $\pm 4 \text{ dB}$ ; vysokofrekvenční citlivost se měří po nařízení odstupu signálu od šumu  $-10 \text{ dB}$  (při vypnutém vf signálu naříďte nejprve regulátorem hlasitosti přijímače výstupní výkon šumu na 5 mW, tj. 141 mV).
- Při kontrolním měření nebo při připojení nové antény je třeba vždy přizpůsobit antennní vstup tak, že se dolaďovací kondenzátor C1 nastaví na největší výchylku výstupního měřiče při zaváděním signálu 1460 kHz.

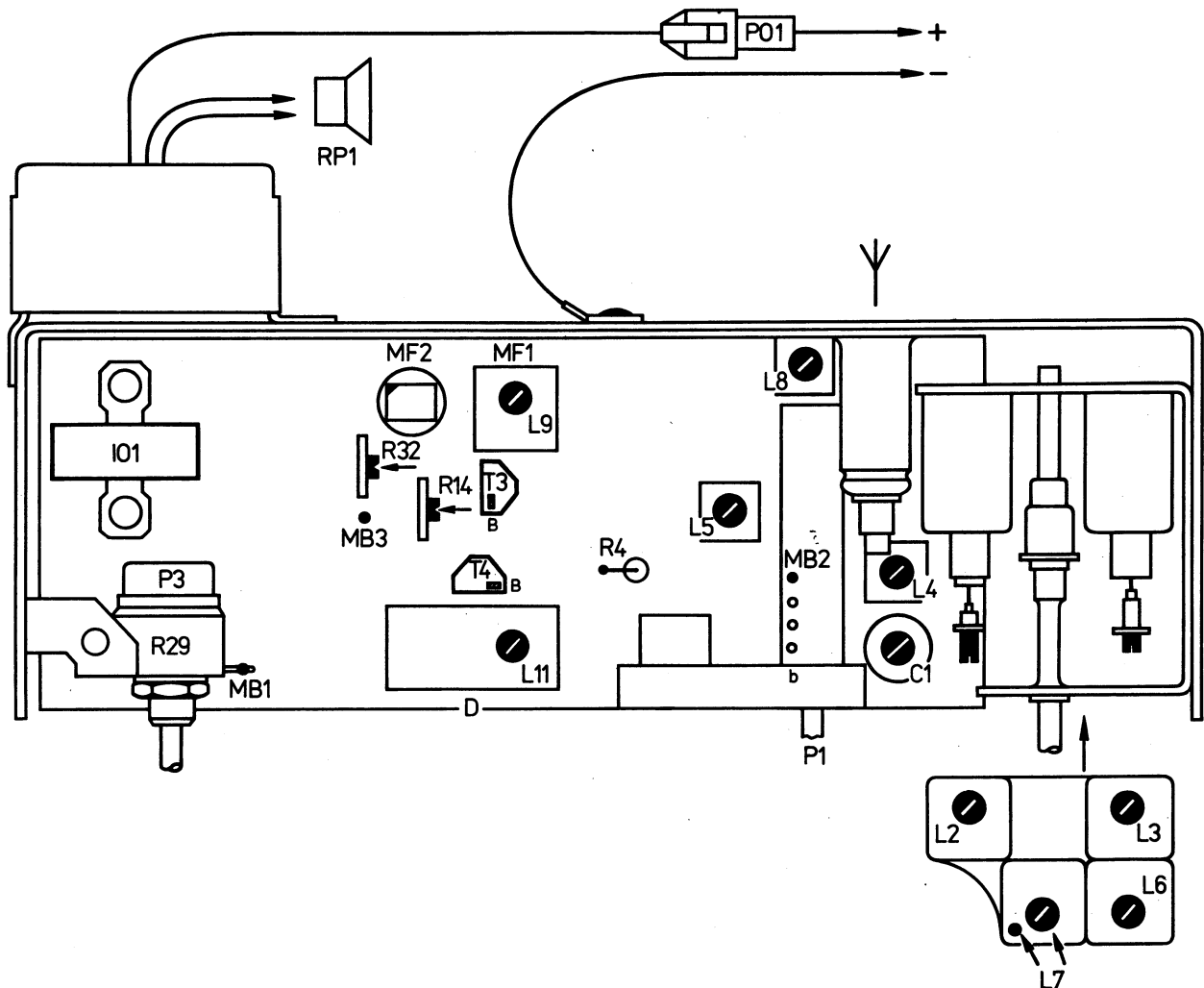
Sládovací tabulka

| Postup  | Zkušební vysílač |                                  | Sládovaný přijímač |                              |                    | Výchylka<br>výstup.<br>měřiče | Střední<br>citli-<br>vost |
|---------|------------------|----------------------------------|--------------------|------------------------------|--------------------|-------------------------------|---------------------------|
|         | připojený přes   | signál                           | roz-<br>sah        | stupnicový<br>ukazovatele na | sládovací<br>prvek |                               |                           |
| 1   3   | 33 nF na MB2     | 455 kHz                          | sv                 | pravý doraz                  | L11, L9            | max.                          | 4 $\mu\text{V}$           |
| 2   4   |                  | 455 kHz                          |                    |                              | L11, L9            |                               |                           |
| 5       |                  | 33 nF na bázi T4                 |                    |                              | -                  |                               |                           |
| 6       |                  | 33 nF na bázi T3                 |                    | dv                           | 0,6 MHz            |                               | 40 $\mu\text{V}$          |
| 7   12  |                  | umělou automobi-<br>lovou anténu |                    |                              | L7, L6, L2         |                               |                           |
| 8   13  |                  | (obr.2.) na an-<br>ténní zdířku  |                    |                              | 1,46 MHz           |                               |                           |
| 9   14  | přijímače        | 156 kHz                          | zn. 284 kHz        | 156 kHz                      | L8, L3             | min.                          | 8 $\mu\text{V}$           |
| 10   15 |                  | 284 kHz                          |                    | 250 kHz                      | L4                 |                               | 10 $\mu\text{V}$          |
| 11   16 |                  | 1170 kHz                         |                    |                              | L5                 |                               | 20 $\mu\text{V}$          |
|         |                  |                                  |                    |                              |                    |                               | -                         |

\* Přeladujte zkušební vysílač v rozmezí  $\pm 2 \text{ kHz}$ , až vyladíte rezonanci pásmové propusti MF2, tj. největší výchylku výstupního měřiče. Potom už nastavení vysílače neměňte.

\*\* Přesnou polohu stupnicového ukazovatele zjistěte po přiložení ozdobného rámu se stupnicí ke stínítku.

\*\*\* Nelze-li nastavit, naříďte C1 asi na třetinu kapacity a posouváním dolaďovací tyče cívky L7 upravte středovlnný rozsah tak, aby po naladění cívek L6 a L2 už nebylo nutné C1 dolaďovat. Zajistěte tyč nitroemailem.



Obr. 3. Sládovací prvky

### POKYNY K OPRAVÁM

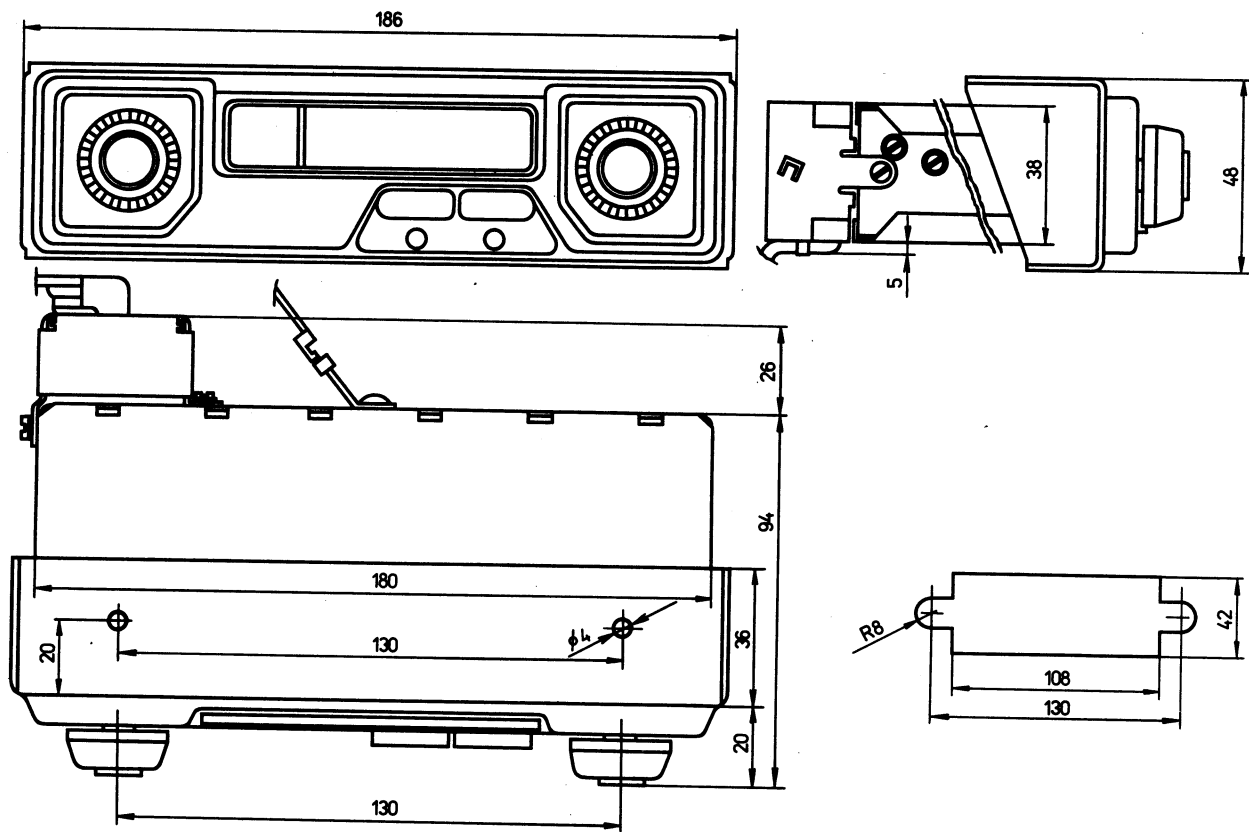
#### Montáž přijímače do automobilu

Rozhlasový přijímač se montuje zpravidla do přístrojové desky před řidičem pomocí montážního držáku a zajišťuje prostřednictvím matic a podložek na pouzdrech obou ovládacích prvků. Vhodné umístění přijímače usnadňuje maximální rozměry a rozměry otvoru v přístrojové desce podle obr. 4. Před montáží zkонтrolujte správné nastavení regulátoru napětí v automobilu, protože při nesprávné regulaci se může přijímač poškodit případným zvýšením napájecího napětí. Velikost tohoto napětí smí být nejvýše 12 V + 20 %, tj. 14,4 V.

Skříň s reproduktorem se obvykle upevňuje do prostoru za zadní sedadla. Před zapnutím přijímače se přesvědčte o správném a spolehlivém zapojení přívodů napájecího napětí a přívodů k reproduktoru.

#### Hlavní mechanické části

Při běžných opravách stačí odejmout horní a spodní kryt skříně pouhým vytažením směrem dozadu. Vyjímání hlavních mechanických částí přijímače, případně způsob jejich opětného upevnění, naznačují obr. 7 a 8.



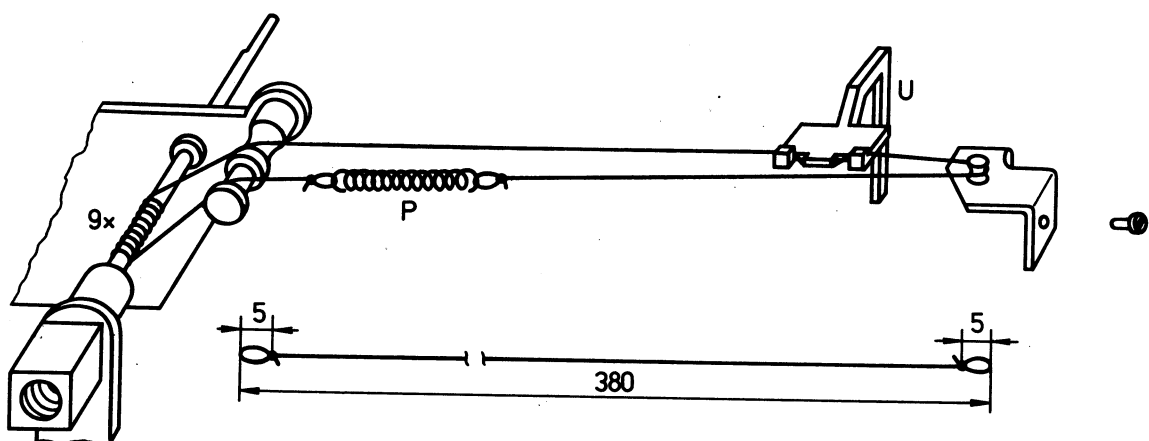
Obr. 4. Rozměry přijímače a otvoru pro montáž

Stupnice je na ozdobném rámu přilepena organickým lepidlem. Při vysouvání stínítka vyvlečněte stupnicový ukazovatel a vysuňte nejprve levý výstupek stínítka. V úzké mezeře nad otvorem pro klávesy má být zasunut černý stínící papír. Osvětlovací žárovku lze vyjmout shora pinzetou při současném odklonění náhonového motouzu.

Všechny upevňovací šrouby musí být spolehlivě utaženy a zajištěny pružnými podložkami nebo nitroemailem.

#### Náhonový motouz

Provedení náhonu znázorňuje obr. 5. Celková délka motouzu je 420 mm. Stupnicový ukazovatel U prochází podélným otvorem ve stínítku a má se krýt s levým krajním bodem stupnice při ladění naří-



Obr. 5. Ladicí náhon a rozměry motouzu

zeném na levý doraz. Zajistěte ukazovatele nitroemailem a zkontrolujte, zda přívod k žárovce nepřekáží jeho pohybu nebo pohybu pružiny.

#### Ladicí část

Při sladování a výměně feritových jader je třeba sejmout ozdobný rám se stupnicí. Celou ladicí část lze vyjmout po stažení náhonového motouzu, vyšroubování dvou šroubů, odpájení přívodu a bodů v zárezech desky s plošnými spoji. Po opětné montáži upravte náhonový motouz a zkontrolujte sladění vstupních a oscilátorových obvodů.

#### Polovodičové prvky

Tranzistory KF124 se třídí před osazováním do přijímače na základě měření činitele  $h_{21E}$  při napětí  $U_{CB} = 10$  V a proudu  $I_E = 1$  mA. Vzniklé dvě skupiny se odlišují barevnými značkami a používají se takto:

|            |                    |         |
|------------|--------------------|---------|
| T1, T3, T4 | $h_{21E} \geq 120$ | fialová |
| T2         | $h_{21E} < 120$    | hnědá   |

#### Skřín pro reproduktor

Před montáží nového reproduktoru stáhněte s jeho obvodu plstěné těsnění. Všechny čtyři šrouby skříně je nutno spolehlivě utáhnout trubkovým klíčem, aby se zamezilo drnčení.

## **ODRUŠENÍ**

Základním předpokladem k dobrému příjmu s dostatečným potlačením rušivých složek, obzvláště při poslechu vzdálenějších rozhlasových vysílačů, je optimální odrušení motorového vozidla. Každý automobil je z výroby odrušen podle normy ČSN 34 2875 - základní odrušení I. stupně, které zaručuje, že vozidlo není zdrojem rušení pro své okolí. Dokonalejší odrušení II. stupně má za účel omezení rušivých napětí na svorkách přístrojů elektrického zařízení automobilu. Následující pokyny se týkají tohoto zvláštního odrušení.

#### Automobil TATRA T 613

Alternátor se odrušuje průchodkovým kondenzátorem TESLA WK 713 43 1  $\mu/100$  A. Kondenzátor se připevní na pomocný úhelník zachycený upevňovacím šroubem alternátoru, a napájecí napětí se vede přes kondenzátor do alternátoru.

Měnič zapalování a regulátor se odrušují ve společném napájecím přívodu jedním průchodkovým kondenzátorem WK 713 42 1  $\mu/15$  A. Další snížení rušení v kmitočtovém rozsahu 0,15 - 0,25 MHz lze dosáhnout zapojením průchodkového filtru WK 852 01 opět do napájecího přívodu.

Motor stěrače se odrušuje třemi kondenzátory WK 713 42 1  $\mu/15$  A zapojenými do hnědého, modrého a žlutého přívodu k motoru.

Motor ventilátoru předního skla se odrušuje v napájecím přívodu stejným kondenzátorem.

Napájecí vodiče k alternátoru, rozdělovači, regulátoru napětí, stěrači a ventilátoru mají být stíněny.

#### Automobily ŠKODA MB 1000, Š 100, Š 105, Š 110 R, Š 120

Nové vozidlo je odrušeno v dostatečném rozsahu díky speciálním odrušovacím koncovkám a propojovacím kabelům s odporovým plnidlem, takže není nutno používat odrušovací kondenzátory. Po půlročním provozu se však rušení postupně objevuje vlivem oxidace kontaktů a kabelových spojek nebo opotřebováním komutátoru dynama. Proto se doporučuje zvláštní odrušení provést při montáži rozhlasového přijímače do vozidla.

Zapalování se odrušuje zařazením průchodkového kondenzátoru 1  $\mu F$  do přívodu ke svorce 15 zapalovací cívky. Kondenzátor upevníme pod upevňovací matici zapalovací cívky.

Dynamo se odrušuje průchodkovým kondenzátorem zařazeným do přívodu k svorce D dynamu a upevněným na kostře dynamu.

Regulační spínač se odrušuje kondenzátorem  $0,5 \mu\text{F}$  zapojeným do přívodu ke svorce R. Upevněje se šrouby pod regulační spínač na levé straně regulátoru. Do obvodu buzení (ke svorce N) se kondenzátor nedává!

V případě, že popsané úpravy jsou nedostatečné, zkontrolujte propojení motoru s karoserií (pod dynamem). Kapota motoru má být propojena s kostrou vozu plochým měděným pleitem  $12 \times 1 \text{ mm}$ . Obvod, který rušení vyvolává, se dá určit podle charakteru rušení (viz následující odstavec).

#### Automobil WARTBURG

Zapalování se odrušuje průchodkovým kondenzátorem  $1 \mu\text{F}$  upevněným pod šroub zapalovací cívky a zařazeným do napájecího přívodu k cívkám. V případě nutnosti zařaďte do přívodu ke každé svíčce spojku s odrušovacím členem typu OK 61-5 nebo OK 61-10.

Regulátor napětí se odrušuje průchodkovým kondenzátorem  $0,5 \mu\text{F}$ , který se upevní pod pravou upevňovací matici regulátoru a zařadí do přívodu ke svorce D+.

Jsou-li popsané úpravy nedostatečné, zkontrolujte propojení motoru s karoserií, případně určete podle charakteru rušení obvod, který je vyvolává. Rušení dynamem nebo alternátorem se projevuje jako hvízdání, které po vypnutí zapalování pomalu dozívá v závislosti na otáčkách motoru. Rušení dynama se dá někdy odstranit přesným obroušením komutátoru a kartáčů. Rušení regulátoru se projevuje jako pravidelný praskot, dozívající po vypnutí zapalování, a lze je snížit sériovým členem  $2000 \text{ pF}$ ,  $5000 \Omega$  zapojeným mezi svorku statoru a kostru. Pomocné motorky se odrušují ve všech přívodech, včetně doběhového kontaktu průchodkovými kondenzátory  $0,5 \mu\text{F}$ . Pokud rušení proniká přes napájecí přívod, je vhodné vést napájení přímo z baterie, případně přívod stínit nebo zařadit filtr TESLA WK 852 01 ( $2 \times 1,5 \mu\text{F} + 80 \mu\text{H}$ ) nebo tlumivku 1PN 852 00.

#### Automobily VAZ, LADA, ŽIGULI

Základní odrušení je provedeno odporem vloženým do palce rozdělovače a odporovými propojovacími kabely ke svíčkám a k zapalovací cívce s odrušovacími koncovkami.

Bez odrušení II. stupně se u vestavěného přijímače nebo přehrávače projevuje silný praskot ze zapalování, jehož charakter se mění s otáčkami motoru. Současně ruší alternátor hvízdáním rovněž závislým na otáčkách motoru. V některých případech se projevuje také rušení stěračem a přerušovačem směrových světel. Odrušení je někdy obtížné a potřebné úpravy nejsou jednoznačné pro každé vozidlo. TESLA BRATISLAVA proto doporučuje následující postup:

Zapalování odrušujeme průchodkovým kondenzátorem WK 713 42  $1 \mu\text{F}$  připevněným k zapalovací cívce z levé strany pod příchytkou držáku. Odpojíme napájecí kabel zapalovací cívky (15, B) a připojíme na spodní konec odrušovacího kondenzátoru; z jeho horního konce pak vedeme krátký vodič k cívce (15, B). Další úprava spočívá ve výměně kabelových koncovek, kde namísto původních gumových použijeme odrušené kabelové koncovky (např. OK 32-1), které jsou běžně k dostání v Mototechně.

Regulátor napětí se odrušuje kondenzátorem WK 713 40  $0,5 \mu\text{F}$ , upevněným pod šroubem regulátoru tak, že se krátkým vodičem propojí jeden vývod kondenzátoru na svorku 15 regulátoru (je tam též připojen oranžový vodič). Kondenzátor musí být spolehlivě spojen s kostrou.

Anténa se montuje na levý blatník, přičemž je třeba použít takový typ, který má stínění přívodu spojené s karoserií u antény.

Alternátor by se měl odrušit kondenzátorem WK 713 43  $1 \mu\text{F}/100 \text{ A}$ , zařazeným do přívodu č. 30. Montáž kondenzátoru je však náročná, proto se doporučuje zařadit odrušovací induktivní filtr do napájecího obvodu přijímače.<sup>\*</sup> Ke zjištění, přichází-li rušivé napětí z antény nebo z napájecího obvodu, stačí odpojit anténu z přijímače.

Pomocné motorky (stěrače, větrání, topení apod.) se odrušují kondenzátory  $0,5 \mu\text{F}$  ve všech přívodech včetně doběhového kontaktu.

Odrušení lze zlepšit také propojením kapoty motoru s kostrou vozu plochým měděným pleitem  $12 \times 1,5 \text{ mm}$ . Při zkoušení odrušení má být vždy kapota zavřena.

\* Všechny nové automobilové přijímače, které vyrábí TESLA BRATISLAVA, jsou již takovým filtrem vybaveny (viz schéma zapojení a montážní zapojení filtru z přijímače 2111B na obr. 6).

**NÁHRADNÍ DÍLY**

Mechanické části (obr. 7 a 8)

| Díl | Název                                   | Objednací číslo | Poznámky    |
|-----|---|-----------------|-------------|
|     | <u>Přijímač 2111B</u>                   |                 |             |
| 1   | držák přijímače pod ozdobným rámem      | 1PA 651 04      |             |
| 2   | ozdobný rám se stupnicí                 | 1PF 116 50      |             |
| 3   | knoflík sestavený                       | 1PF 243 82      |             |
| 4   | stínítka sestavené                      | 1PF 800 45      |             |
| 5   | kryt stínítka                           | 1PF 199 97      |             |
| 6   | osvětlovací žárovka 12 V/1,2 W; Ba 7s   | 225 2113        | B1          |
| 7   | objímka žárovky                         | 1PF 817 11      |             |
| 8   | ukazovatel                              | 1PF 167 10      |             |
| 9   | pružina náhonu ladění                   | 1PA 786 17      | U } obr. 5. |
| 10  | tlačítková souprava bez kláves          | 1PK 053 22      | P }         |
| 11  | klávesa SV                              | 1PF 795 11      | P1, P2      |
| 12  | klávesa DV                              | 1PF 795 10      |             |
| 13  | ladící část sestavená                   | 1PK 099 37      | L2,L3,L6,L7 |
| 14  | feritové jádro bez šroubu (24 mm)       | 1PF 435 04      |             |
| 15  | nastavovací šroub                       | 1PA 071 32      |             |
| 16  | pérová pojistka šroubů                  | 1PA 091 01      |             |
| 17  | velká deska s plošnými spoji holá       | 1PB 001 41      |             |
| 18  | podložka propusti MF2                   | 1PA 255 40      |             |
| 19  | antennní zdířka 1181.737                | TGL 200-3516    |             |
| 20  | pojistkový kryt s větším průměrem       | 1PA 251 50      |             |
| 21  | pojistkový kryt s menším průměrem       | 1PA 251 51      |             |
| 22  | pojistka F 1,25 A/250 V                 | ČSN 35 4733     | P01         |
| 23  | napájecí kabel modrý (minus)            | 1PF 827 12      |             |
| 24  | deska s plošnými spoji odrušovací části | 1PB 001 76      | obr. 6.     |
| 25  | kabelová spojka dvoupólová              | 1PA 251 48      |             |
| 26  | feritový hrníček cívky L4, L5, L8       | 506 602/N1      |             |
| 27  | doládovací tyč cívky L7                 | 502 003/H11     | 1,6 x 16    |
| 28  | Jádro cívky L9, L11                     | 205 511 304 503 | M3,5x0,5x12 |
|     | <u>Skřín s reproduktorem</u>            |                 |             |
| 29  | skřín s reproduktorem                   | 1PF 067 42      |             |
| 30  | reprodukтор TESLA ARE 4604              | 2AN 717 40      | RP1         |
| 31  | kabelová spojka jednopólová             | 1PA 425 08      |             |

## Elektrické části

| Díl | Název                | Objednací číslo | Poznámky |
|-----|----------------------|-----------------|----------|
| T1  | křemíkový tranzistor | KF124           | fialový  |
| T2  | křemíkový tranzistor | KF124           | hnědý    |
| T3  | křemíkový tranzistor | KF124           | fialový  |
| T4  | křemíkový tranzistor | KF124           | fialový  |
| D1  | germaniová dioda     | GA201           |          |
| D2  | germaniová dioda     | GA201           |          |

| D3  | Zenerova dioda                     | KZZ73        |                 |
|-----|------------------------------------|--------------|-----------------|
| I01 | integrovaný obvod                  | MBA810DAS    |                 |
| MF2 | keramická pásmová propust          | SPF 455 40   |                 |
| L   | Cívka                              | Počet závitů | Objednací číslo |
| 1   | anténní (navinutá na R1)           | 45           | 1PN 652 04      |
| 2   | vstupní; sv                        | 111          | 1PK 853 14 *    |
| 6   | laděný okruh; sv                   | 111          | 1PK 853 14 *    |
| 7   | oscilátor; sv                      | 93           | 1PK 853 13 *    |
| 3   | vstupní; dv                        | 344          | 1PK 853 15      |
| 4   |                                    | 220          | 1PK 593 75      |
| 5   | odlaďovač zrcadlových kmitočtů; dv | 220          | 1PK 593 75      |
| 8   | oscilátor; dv                      | 63           | 1PK 593 73      |
| 9   |                                    | 20           |                 |
| 9'  | 1.mf pásmová propust; 455 kHz      | 40           | 1PK 593 98      |
| 10  |                                    | 10           |                 |
| 11  |                                    | 45           |                 |
| 11' | detektor; 455 kHz                  | 15           | 1PK 593 97      |
| 12  |                                    | 20           |                 |
| 13  | tlumivka                           | 54           | 9WN 651 15      |
| 14  | tlumivka                           | 15           | 1PK 587 42      |
| 15  | tlumivka                           | 12           | 1PF 600 48      |
| 16  | tlumivka                           | 16           |                 |
| 16  |                                    | 16           | 1PK 587 41      |

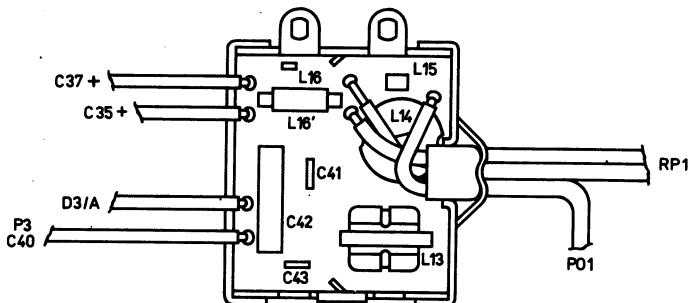
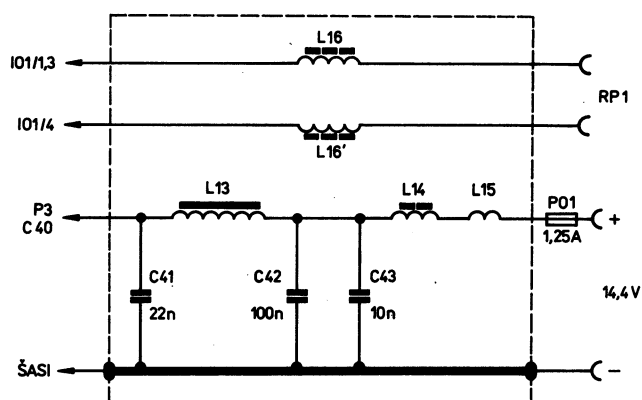
\* Středovlnné cívky jsou z výroby rozšířeny do osmi skupin podle rozsahu ladění. V přijímači lze používat vždy jen cívky ze stejné skupiny.

| C  | Kondenzátor | Hodnota             | Provozní napětí V= | Objednací číslo | Poznámky |
|----|-------------|---------------------|--------------------|-----------------|----------|
| 1  | doládovací  | 60 pF               | 100                | WN 704 19       |          |
| 2  | keramický   | 15 pF ± 10 %        | 40                 | TK 754 15p/K    |          |
| 3  | keramický   | 56 pF ± 10 %        | 40                 | TK 754 56p/K    |          |
| 4  | keramický   | 680 pF ± 10 %       | 40                 | TK 774 680p/K   |          |
| 5  | keramický   | 680 pF ± 10 %       | 40                 | TK 774 680p/K   |          |
| 6  | keramický   | 47 000 pF +80 -20 % | 12,5               | TK 782 47n/Z    |          |
| 7  | keramický   | 47 000 pF +80 -20 % | 12,5               | TK 782 47n/Z    |          |
| 8  | keramický   | 10 000 pF +80 -20 % | 12,5               | TK 782 10n/Z    |          |
| 9  | keramický   | 4700 pF +80 -20 %   | 32                 | TK 783 4n7/Z    |          |
| 10 | keramický   | 18 pF ± 5 %         | 40                 | TK 754 18p/J    |          |
| 11 | keramický   | 10 000 pF +80 -20 % | 12,5               | TK 782 10n/Z    |          |
| 12 | keramický   | 12 pF ± 5 %         | 40                 | TK 754 12p/J    |          |
| 13 | keramický   | 180 pF ± 5 %        | 40                 | TK 774 180p/J   |          |
| 14 | svitkový    | 2700 pF ± 5 %       |                    | TC 281 2n7/J    |          |
| 15 | svitkový    | 5600 pF ± 5 %       |                    | TC 281 5n6/J    |          |
| 16 | svitkový    | 1500 pF ± 5 %       |                    | TC 281 1n5/J    |          |
| 17 | keramický   | 10 000 pF +80 -20 % | 12,5               | TK 782 10n/Z    |          |
| 18 | svitkový    | 1500 pF ± 5 %       |                    | TC 281 1n5/J    |          |
| 19 | slídový     | 510 pF ± 5 %        | 500                | TC 210 510p/J   |          |
| 20 | keramický   | 100 pF ± 5 %        | 40                 | TK 774 100p/J   |          |
| 21 | keramický   | 47 000 pF +80 -20 % | 12,5               | TK 782 47n/Z    |          |
| 22 | keramický   | 47 000 pF +80 -20 % | 12,5               | TK 782 47n/Z    |          |

|    |                |                               |      |                      |             |
|----|----------------|-------------------------------|------|----------------------|-------------|
| 23 | elektrolytický | 20 $\mu\text{F}$ +100 -10 %   | 6    | TE 981 20 $\mu$      |             |
| 24 | keramický      | 0,1 $\mu\text{F}$ +80 -20 %   | 12,5 | TK 782 100n/Z        |             |
| 25 | svitkový       | 3300 pF $\pm$ 5 %             |      | TC 281 3n3/J         |             |
| 26 | keramický      | 10 000 pF +80 -20 %           | 12,5 | TK 782 10n/Z         |             |
| 27 | keramický      | 1500 pF $\pm$ 20 %            | 40   | TK 724 1n5/M         |             |
| 28 | keramický      | 10 000 pF +80 -20 %           | 12,5 | TK 782 10n/Z         |             |
| 29 | keramický      | 0,1 $\mu\text{F}$ +80 -20 %   | 12,5 | TK 782 100n/Z        |             |
| 30 | svitkový       | 0,1 $\mu\text{F}$ $\pm$ 20 %  | 160  | TC 181 100n/M        |             |
| 31 | elektrolytický | 2 $\mu\text{F}$ +100 -10 %    | 35   | TE 986 2 $\mu$       |             |
| 32 | elektrolytický | 100 $\mu\text{F}$ +100 -10 %  | 6    | TE 981 100 $\mu$ PVC | izol.vývod  |
| 33 | keramický      | 470 pF $\pm$ 5 %              | 40   | TK 774 470p/J        |             |
| 34 | svitkový       | 2700 pF $\pm$ 10 %            |      | TC 281 2n7/K         |             |
| 35 | elektrolytický | 1000 $\mu\text{F}$ +100 -10 % | 10   | TE 982 1m0 PVC       | izol.vývody |
| 36 | svitkový       | 0,1 $\mu\text{F}$ $\pm$ 20 %  | 160  | TC 181 100n/M        |             |
| 37 | elektrolytický | 500 $\mu\text{F}$ +100 -10 %  | 15   | TE 984 500 $\mu$ PVC |             |
| 38 | elektrolytický | 5 $\mu\text{F}$ +100 -10 %    | 15   | TE 984 5 $\mu$ PVC   | izol.vývod  |
| 39 | keramický      | 47 000 pF +80 -20 %           | 12,5 | TK 782 47n/Z         |             |
| 40 | svitkový       | 0,1 $\mu\text{F}$ +80 -20 %   | 160  | TC 181 100n/M        |             |
| 41 | keramický      | 22 000 pF +80 -20 %           | 12,5 | TK 782 22n/Z         |             |
| 42 | svitkový       | 0,1 $\mu\text{F}$ $\pm$ 20 %  | 160  | TC 181 100n/M        |             |
| 43 | keramický      | 10 000 pF +80 -20 %           | 12,5 | TK 782 10n/Z         |             |
| 44 | keramický      | 10 pF $\pm$ 10 %              | 40   | TK 754 10p/K         |             |

| R  | Odpor        | Hodnota                    | Zatížení W | Objednací číslo | Poznámky |
|----|--------------|----------------------------|------------|-----------------|----------|
| 1  | vrstvový     | 1200 $\Omega$ $\pm$ 10 %   | 0,25       | TR 221 1K2/K    | viz L1   |
| 2  | vrstvový     | 1000 $\Omega$ $\pm$ 10 %   | 0,125      | TR 212 1K0/K    |          |
| 3  | vrstvový     | 3300 $\Omega$ $\pm$ 10 %   | 0,125      | TR 212 3K3/K    |          |
| 4  | vrstvový     | 390 $\Omega$ $\pm$ 10 %    | 0,125      | TR 212 390R/K   |          |
| 5  | vrstvový     | 1500 $\Omega$ $\pm$ 10 %   | 0,125      | TR 212 1K5/K    |          |
| 6  | vrstvový     | 100 $\Omega$ $\pm$ 20 %    | 0,125      | TR 212 100R/M   |          |
| 7  | vrstvový     | 10 000 $\Omega$ $\pm$ 10 % | 0,125      | TR 212 10K/K    |          |
| 8  | vrstvový     | 1500 $\Omega$ $\pm$ 10 %   | 0,125      | TR 212 1K5/K    |          |
| 9  | vrstvový     | 27 000 $\Omega$ $\pm$ 10 % | 0,125      | TR 212 27K/K    |          |
| 10 | vrstvový     | 1500 $\Omega$ $\pm$ 10 %   | 0,125      | TR 212 1K5/K    |          |
| 11 | vrstvový     | 2200 $\Omega$ $\pm$ 10 %   | 0,125      | TR 212 2K2/K    |          |
| 12 | vrstvový     | 100 $\Omega$ $\pm$ 20 %    | 0,125      | TR 212 100R/M   |          |
| 13 | vrstvový     | 15 000 $\Omega$ $\pm$ 10 % | 0,125      | TR 212 15K/K    |          |
| 14 | nastavitelný | 0,1 M $\Omega$ lin.        | 0,05       | WN 790 10 100K  |          |
| 15 | vrstvový     | 1500 $\Omega$              | 0,125      | TR 212 1K5/K    |          |
| 16 | vrstvový     | 560 $\Omega$ $\pm$ 10 %    | 0,125      | TR 212 560R/K   |          |
| 17 | vrstvový     | 1000 $\Omega$ $\pm$ 10 %   | 0,125      | TR 212 1K0/K    |          |
| 18 | vrstvový     | 10 000 $\Omega$ $\pm$ 10 % | 0,125      | TR 212 10K/K    |          |
| 19 | vrstvový     | 27 000 $\Omega$ $\pm$ 10 % | 0,125      | TR 212 27K/K    |          |
| 20 | vrstvový     | 330 $\Omega$ $\pm$ 10 %    | 0,125      | TR 212 330R/K   |          |
| 21 | vrstvový     | 180 $\Omega$ $\pm$ 10 %    | 0,125      | TR 212 180R/K   |          |
| 22 | vrstvový     | 100 $\Omega$ $\pm$ 20 %    | 0,125      | TR 212 100R/M   |          |
| 23 | vrstvový     | 10 000 $\Omega$ $\pm$ 10 % | 0,125      | TR 212 10K/K    |          |
| 24 | vrstvový     | 4700 $\Omega$ $\pm$ 10 %   | 0,125      | TR 212 4K7/K    |          |
| 25 | vrstvový     | 10 000 $\Omega$ $\pm$ 10 % | 0,125      | TR 212 10K/K    |          |
| 26 | vrstvový     | 15 000 $\Omega$ $\pm$ 10 % | 0,125      | TR 212 15K/K    |          |
| 27 | vrstvový     | 220 $\Omega$ $\pm$ 10 %    | 0,125      | TR 212 220R/K   |          |
| 28 | vrstvový     | 100 $\Omega$ $\pm$ 20 %    | 0,125      | TR 212 100R/M   |          |

|    |              |              |       |                   |    |
|----|--------------|--------------|-------|-------------------|----|
| 29 | potenciometr | 0,1 MΩ log.  | 0,08  | TP 161 35B 100K/L | P3 |
| 30 | vrstvový     | 56 Ω ± 10 %  | 0,125 | TR 212 56R/K      |    |
| 31 | vrstvový     | 2,7 Ω ± 10 % | 0,125 | TR 212 2R7/K      |    |
| 32 | nastaviteľný | 1000 Ω lin.  | 0,05  | WN 790 10 1KO     |    |
| 33 | vrstvový     | 180 Ω ± 10 % | 0,125 | TR 212 180R/K     |    |
| 34 | vrstvový     | 330 Ω ± 10 % | 0,125 | TR 212 330R/K     |    |



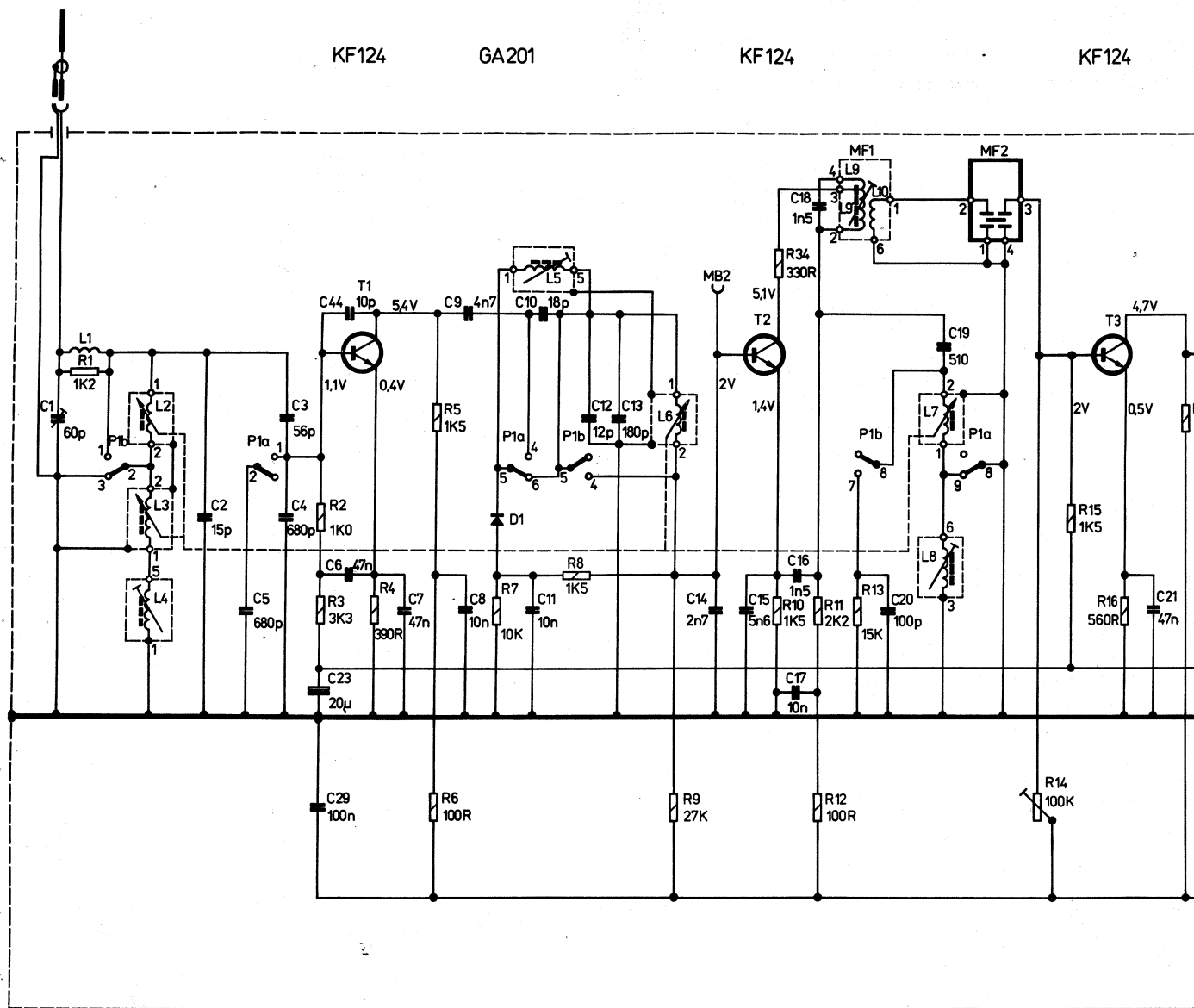
Obr. 6. Zapojení odrušovací části

Vydala TESLA ELTOS, oborový podnik v Praze

Odevzdáno do tisku v prosinci 1981

Součástí návodu jsou dvě přílohy

|   |   |   |   |   |   |   |   |   |   |    |    |    |    |    |    |    |    |    |    |    |    |    |
|---|---|---|---|---|---|---|---|---|---|----|----|----|----|----|----|----|----|----|----|----|----|----|
| L | 1 | 2 | 3 | 4 | 5 | 6 | 7 | 8 | 9 | 9  | 10 | 11 | 12 | 13 | 14 | 15 | 16 | 17 | 18 | 19 | 20 | 21 |
| C | 1 | 2 | 3 | 4 | 5 | 6 | 7 | 8 | 9 | 10 | 11 | 12 | 13 | 14 | 15 | 16 | 17 | 18 | 19 | 20 | 21 | 22 |
| R | 1 | 2 | 3 | 4 | 5 | 6 | 7 | 8 | 9 | 10 | 11 | 12 | 13 | 14 | 15 | 16 | 17 | 18 | 19 | 20 | 21 | 22 |



NAPĚTÍ MĚŘENA PŘÍSTROJEM AVOMET II

## TABULKA VLNOVÉHO PŘEPÍNAČE

| STISKNUTÉ<br>TLAČÍTKO | SPOJENÉ DOTEKY PŘI FUNKCI |                               |
|-----------------------|---------------------------|-------------------------------|
|                       | SV*                       | DV                            |
| P1                    | a                         | 5 - 6, 8 - 9,<br>1 - 2, 4 - 5 |
|                       | b                         | 2 - 3<br>1 - 2, 4 - 5, 7 - 8  |
| P2                    | -                         | -                             |

\*ZAKRESLENÝ STAV

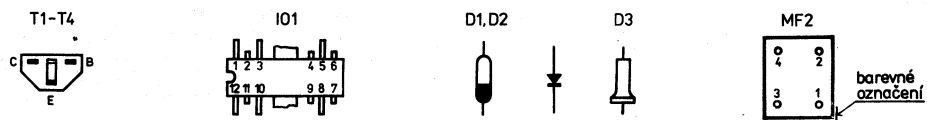
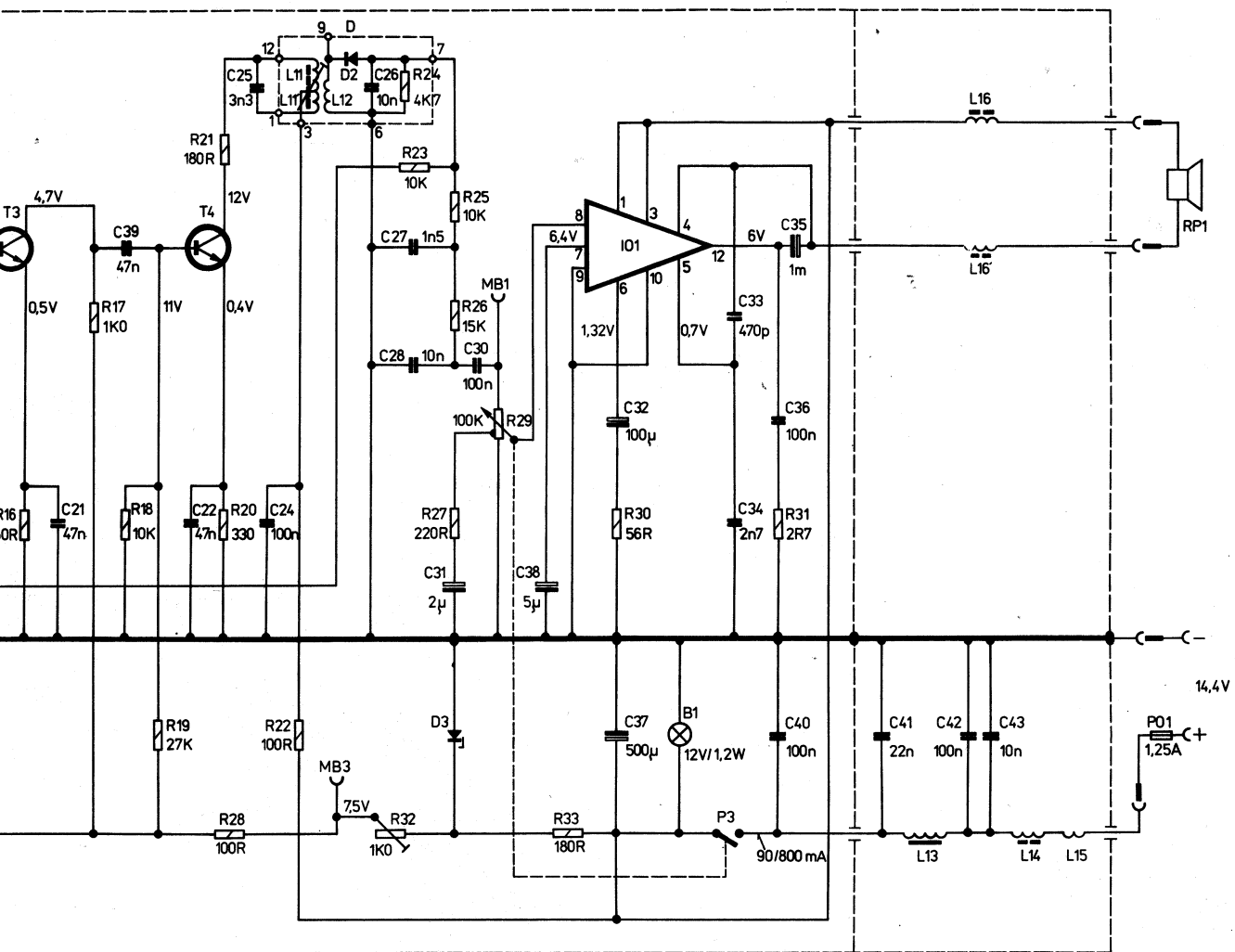
|     |     |     |     |     |     |     |     |     |     |     |     |     |     |     |     |     |     |     |     |     |     |     |     |    |
|-----|-----|-----|-----|-----|-----|-----|-----|-----|-----|-----|-----|-----|-----|-----|-----|-----|-----|-----|-----|-----|-----|-----|-----|----|
| 16, | 21, | 39, | 22, | 25, | 24, | 26, | 27, | 28, | 31, | 30, | 38, | 32, | 37, | 33, | 34, | 36, | 40, | 35, | 41, | 13, | 16, | 16' | 14, | 15 |
|     | 17, | 18, | 19, | 21, | 20, | 28, | 22, | 32, | 24, | 23, | 25, | 26, | 27, | 29, | 33, | 30, |     |     | 31  | 42, | 43  |     |     |    |

124

KF124

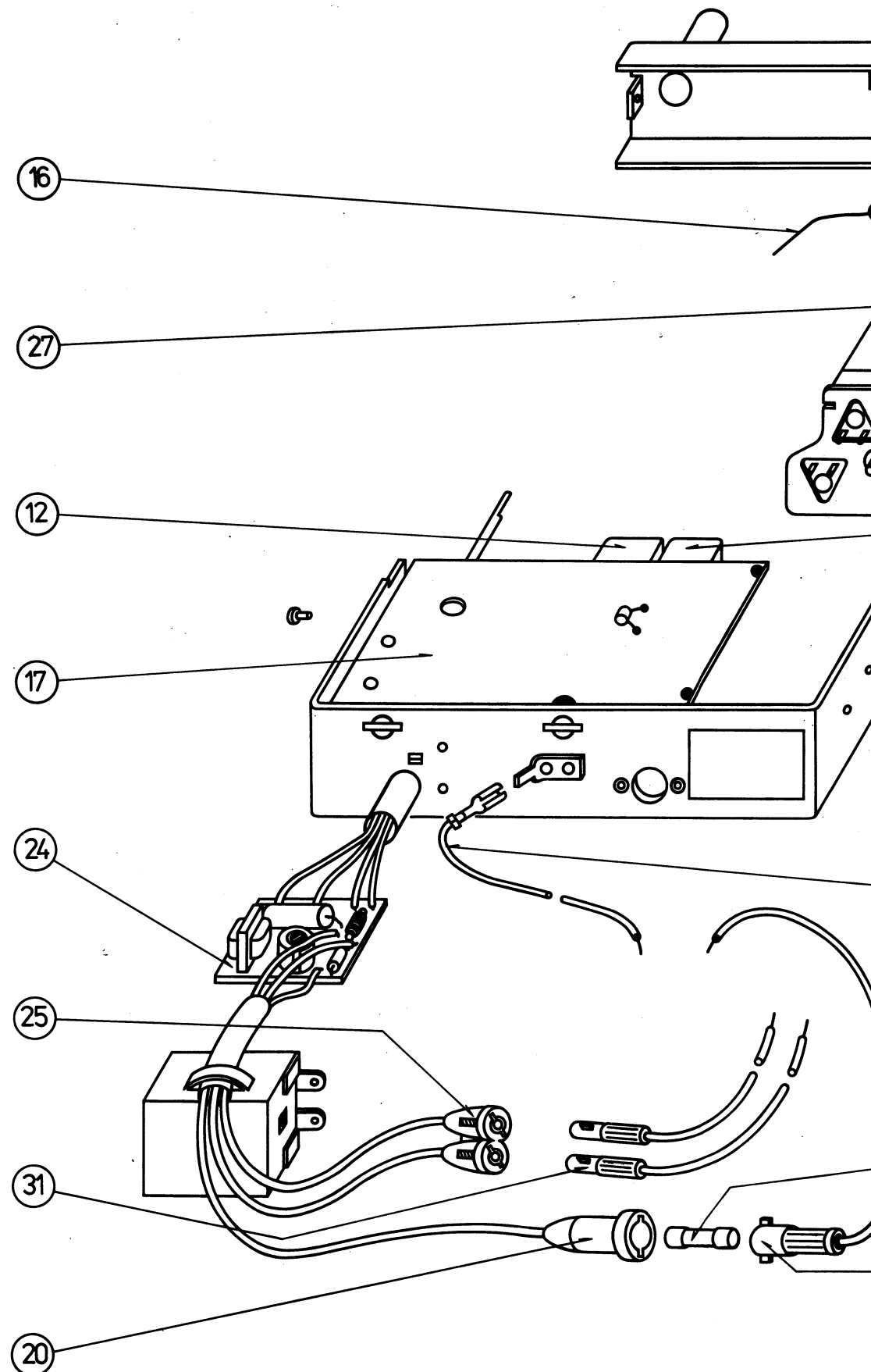
GA 201 KZZ73

MBA810DAS

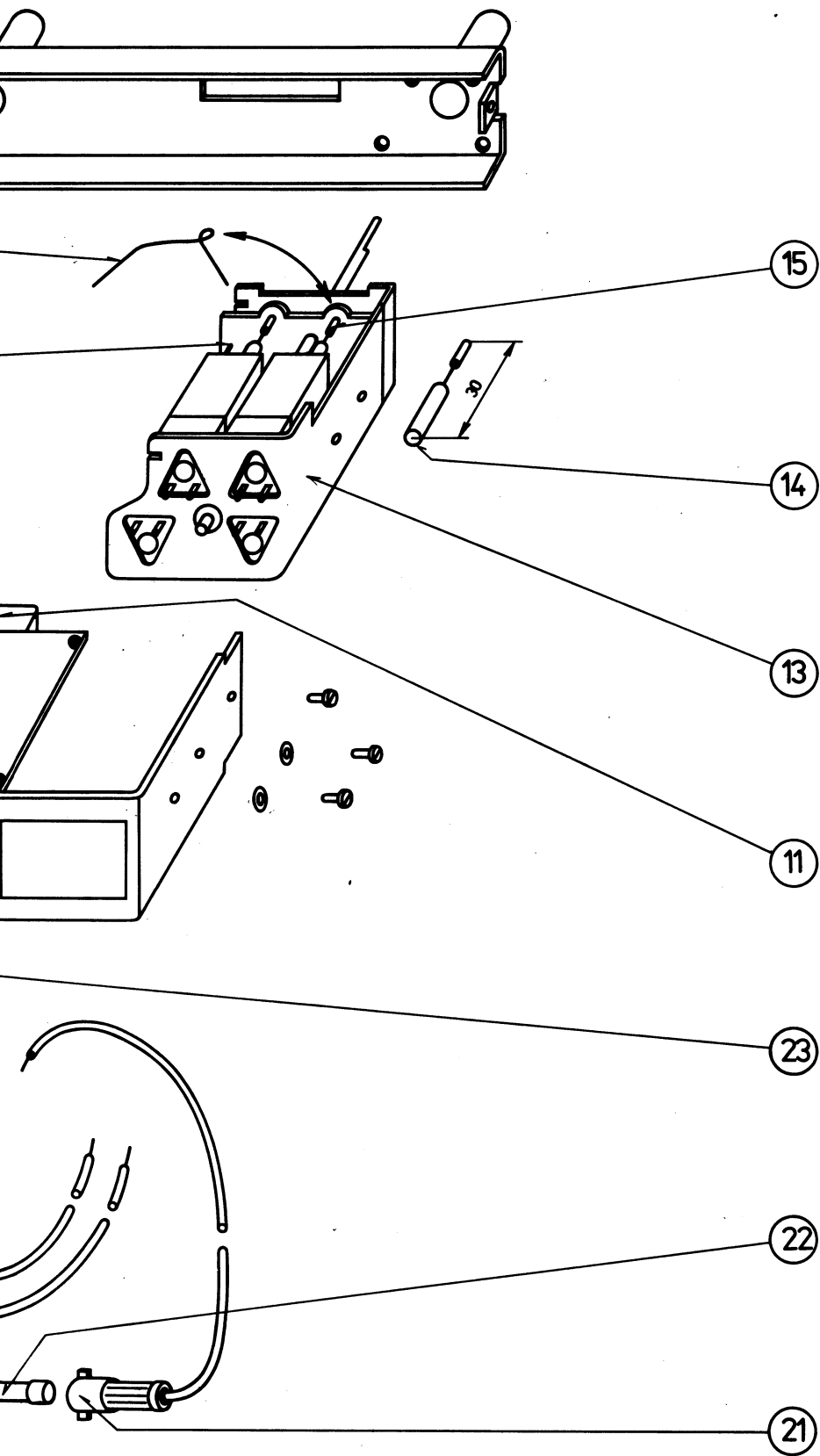


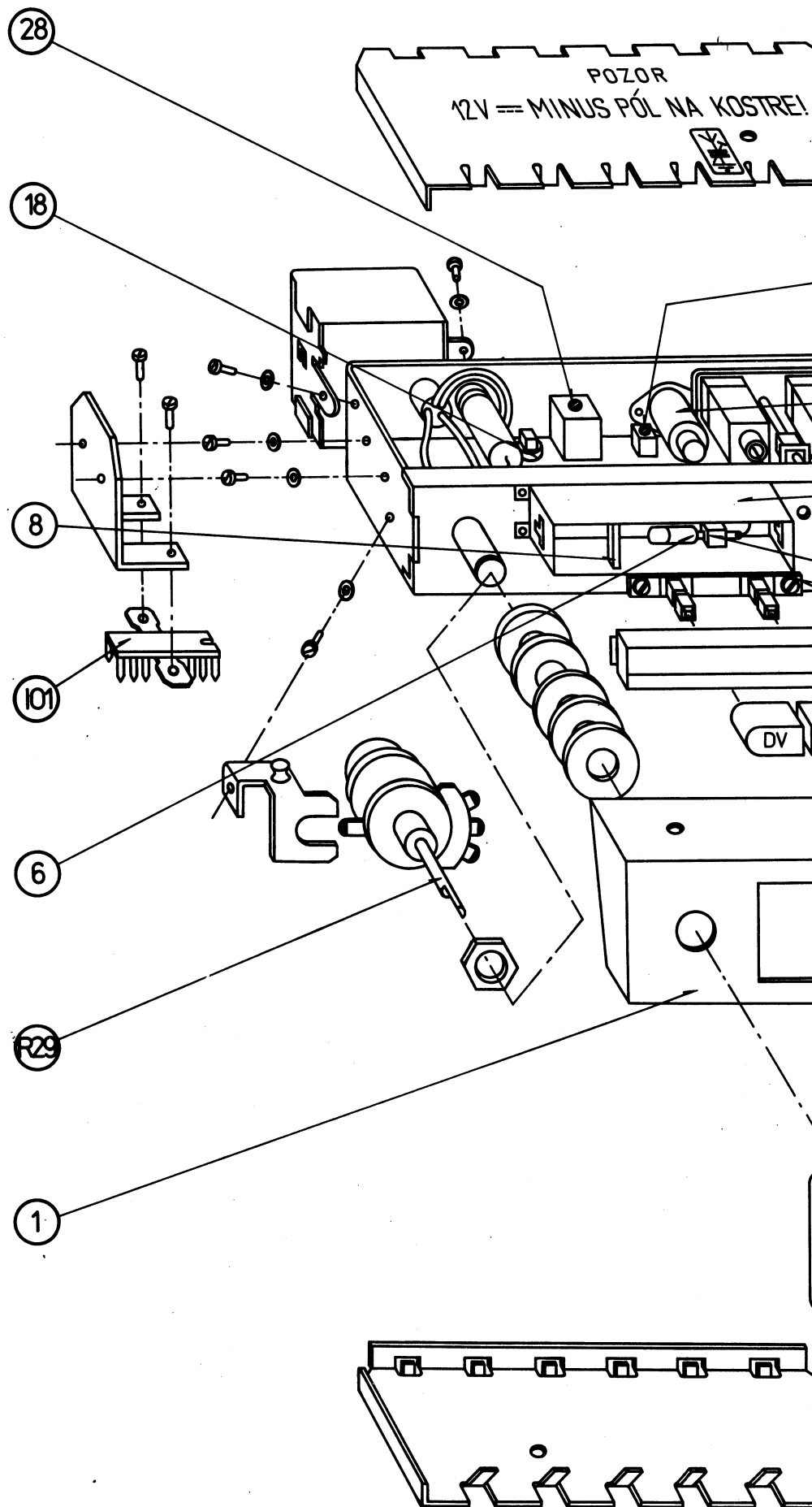
POHLED ZESPODU

A 2111B

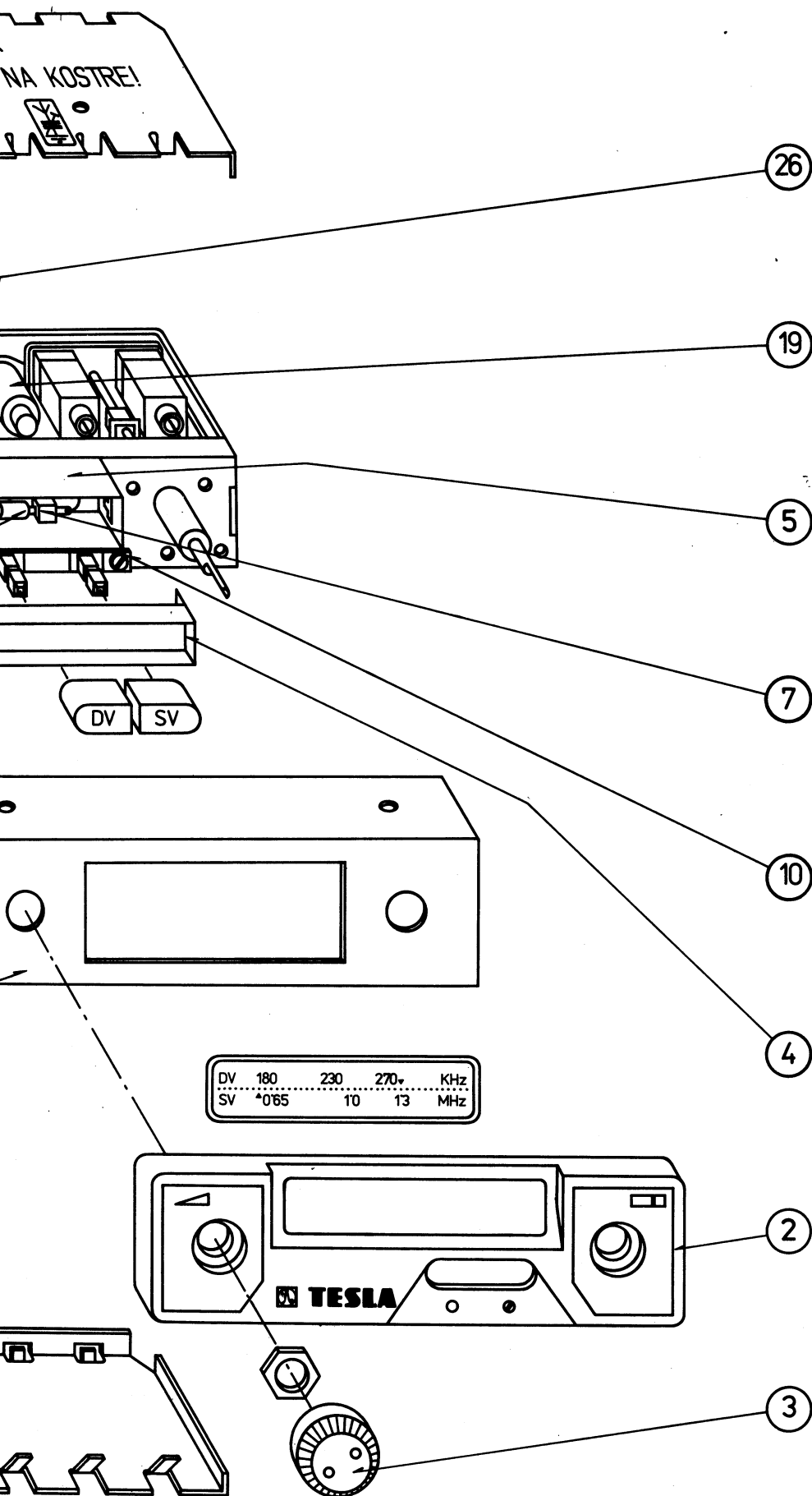


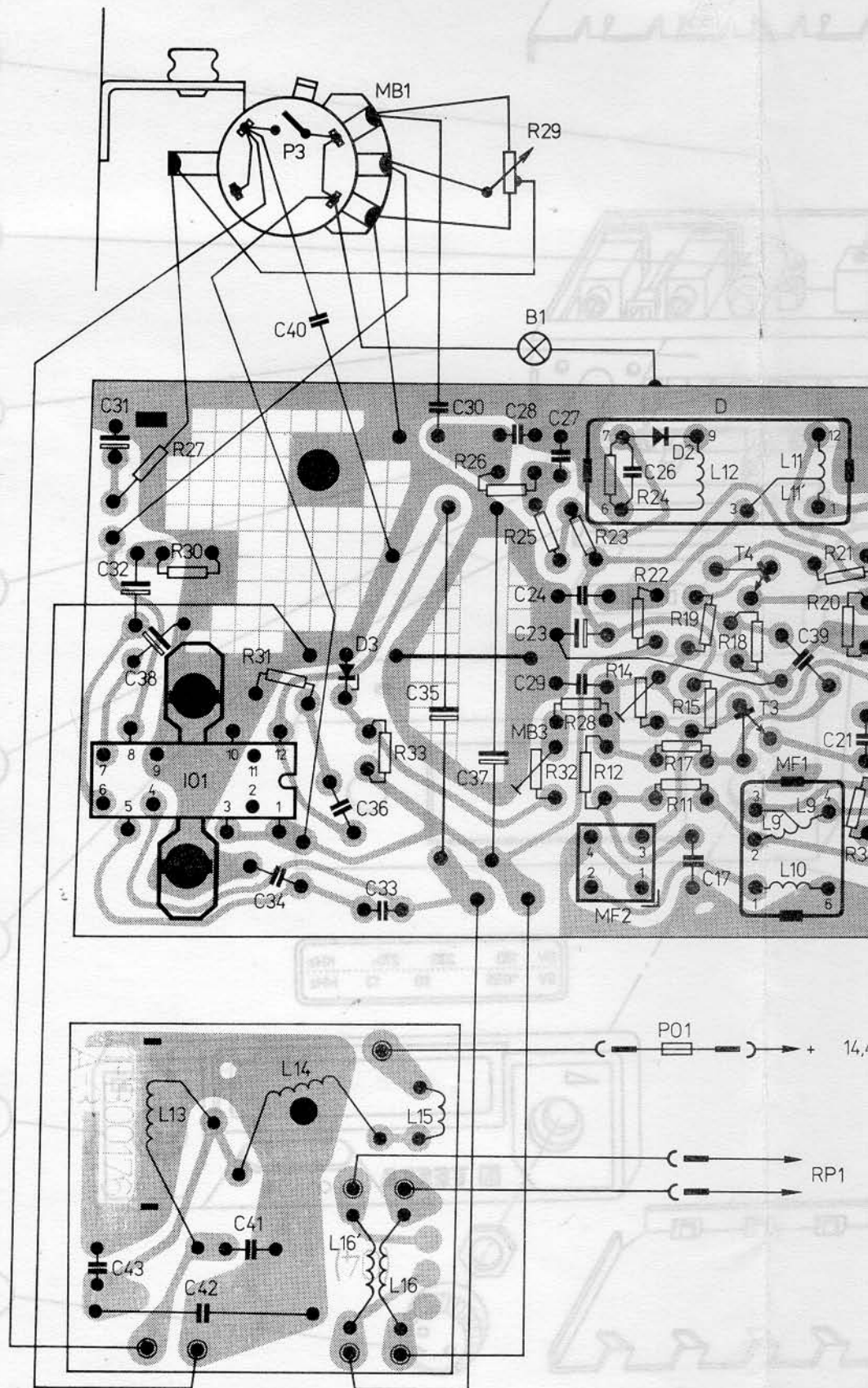
Obr. 8. Rozložení mechanických dílů při po

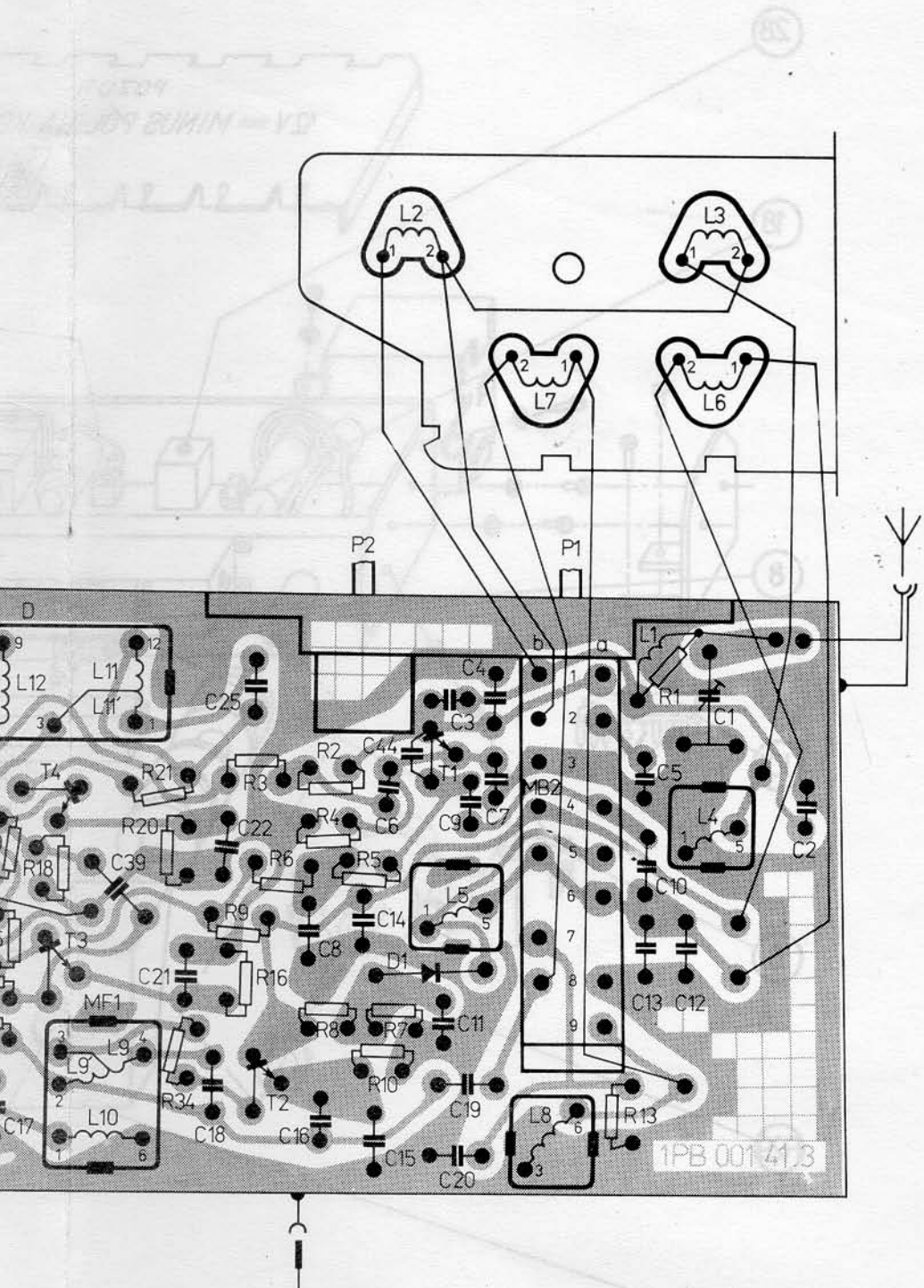




Obr. 7. Rozložení mechanických dílů







TESLA 2111B



**TESLA ELTOS**